

500t埋設アンカーの設計と施工

三菱重工業(株)	広島研究所	構造研究室	多賀谷宏三
三菱重工業(株)	長崎造船所	修繕船渠部	川岡 初男
西日本菱重興産(株)	建設部		大橋 初美
(株)間組	研究開発局	海洋開発室	○ 下村嘉平衛
(株)間組	研究開発局	海洋開発室	松垣 光威
(株)間組	研究開発局	海洋開発室	橋内 勝美

1. まえがき

海洋土木工事において、大容量のアンカーは不可欠である。推進力の大きなスラスターとコンピューターを組合せた自動位置保持装置が開発されつつはあるが、大型の作業船や構造物の位置決めには、手取り早いアンカーが必要であり、しかも、アンカーの把駐力として大容量のものが要求されているのが現状である。一方、造船界においても船舶の大型化が進み40万～50万tの超大型船が実現しつつあるが、この建造、艤装にあたってこれら超大型船のけい留が必要であり、この面からも大容量のアンカーが必要となってきている。

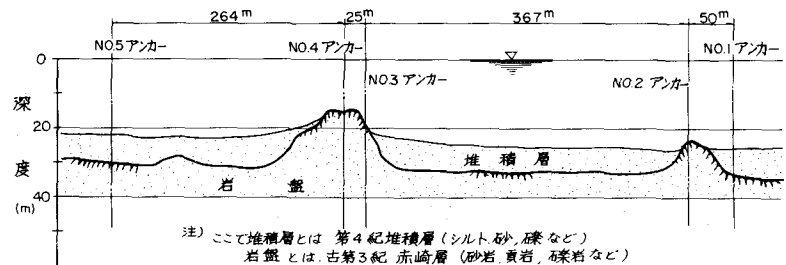
アンカーは、重いものを海中に投入して所定の把駐力を期待する投設アンカーと、海底をせん孔し適当なアンカー軸体を根固めして所定の引抜力を期待する埋設アンカーに大別される。投設アンカーは、船の錨やブイのアンカーなどがよく知られているが、埋設アンカーは最近開発されたもので実績はまだ少ない。

筆者らは、三菱重工業長崎造船所香焼工場の艤装岸壁の築造にあたって把駐力500tチエーン埋設アンカーを施工し、その引抜試験を行なって安全性を確かめる機会を得たので、このアンカーの設計と施工上の問題について述べることにする。

2. 工事の概要

用途は前述艤装岸壁(水深-10m)の沖側けい船アンカーであり、合計10基のアンカーのうち5基を埋設アンカーによって施工した。施工地点は、湾内の水深・18m～30mのところで、岸壁法線より沖合約200mの海中である。

海底は、おおむね上層が第4紀堆積層(シルト、砂、れき)でおおわれ、下層は古第3紀層(砂岩、頁岩、れき岩)が存在する地盤であるが、一部には古第3紀層が露出したところも見られる。図-1に調査結果より推定した地層の断面を示す。施工場所は、前述のように湾内であるので、海象は穏やかであり、



風速10m/secで波高0.5m程度、最大潮流2.5ノット

潮位差約2mである。

計画したアンカーの諸元を表-1、チェーンの形状を図-2に示す。

3.1 設計の方針

チェーン埋設アンカーの耐力は、次の各項の最小値で決定される。

- ①アンカーチェーンの破断。
- ②鞍状地盤部の破壊。
- ③チエーンとモルタルとの付着部のすべり、または圧縮破壊。
- ④モルタルのせん断破壊。
- ⑤モルタルと地盤との付着部のすべり。
- ⑥定着部地盤の破壊。

以上、これらの現象は単独に生じる場合もあるが一般には、いくつもの現象が重なりあって生じるためチエーン埋設部の抵抗機構は複雑である。

ここでは、図-3に示すようなチエーン埋設アンカーの構造モデルおよび鞍状地盤部の力学モデルを仮定し、斜め上向きの引抜力が最終的には上向きの引抜力に帰着すると仮定して設計を行なう。ただし、水平引抜力を鉛直引抜力に変換する鞍状の地盤部分の必要高さについては、次のような考え方により検討を加えることにした。

図-3において

$$P = f_u B \quad \text{-----①}$$

ただし f_u : 鞍状地盤の一軸圧縮強度 kg/cm^2

B : 鞍状地盤のチエーン支持巾 (m)

$$P = \sum P = P \cdot R \left(\frac{\pi}{2} - \theta \right) \quad \text{-----②}$$

$$H = R \cos \theta \quad \text{-----③}$$

一方力の釣合より

$$T = T' + \mu P \quad \text{-----④}$$

ここでチエーンに対する鞍状地盤部の反力の合力 P の方向は、常に鞍状部分の中心に向いていると仮定すると、次のことが言える。

$\triangle ABC$ において(3)式より

$$AB = AC \quad \therefore \angle ABC = \angle ACB = (\frac{\theta}{2} + \theta)/2$$

$$\angle BAC = \frac{\pi}{2} - \theta$$

したがって

表-1 埋設アンカーの諸元

名 称	諸 元
使用チエーン	中120mm 端接2種チエーン 材質SC-50 破断 694t 耐力 495t
チエーン作用力	引抜力 $T = 500\text{t}$ 引込角 $\theta = 20^\circ (45^\circ \times 43\%)$
掘削径	直径 $D = 700\text{mm}$ 鞍状岩盤部高さ $H = 3.5\text{m}$ 岩盤定着部長さ $L = 7\text{m}$ スライムだまり $L' = 0.5\text{m}$
岩盤部の一軸圧縮強度など	鞍状岩盤部(風化砂岩) $f_u = 50 \text{ kg/cm}^2$ 定着岩盤部(れき岩or砂岩) $f_u = 150 \text{ kg/cm}^2$
地盤チエーンの摩擦係数	$\mu = 0.5$ と想定
注入モルタル	予想圧縮強度 $\sigma_c = 200 \text{ kg/cm}^2$

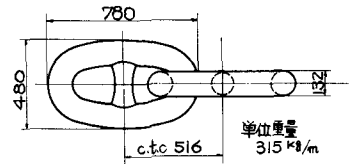
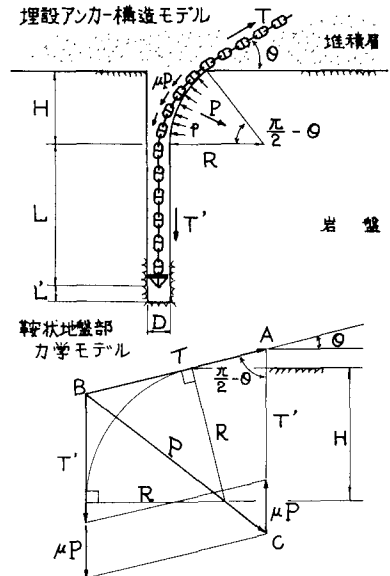


図-2 使用チエーンの形状



記号の説明

T : チエーンの引張力	(t)
θ : チエーンの引込角	
P : 鞍状地盤部の地盤反力	(t/m)
P : 鞍状地盤部に作用する反力の合力	(t)
μ : 鞍状地盤部とチエーンの摩擦係数	
μP : 鞍状地盤部の摩擦力	(t)
T' : チエーンに作用する上向き引抜力	(t)
R : 鞍状地盤部分の半径	(m)
H : 鞍状地盤部分の高さ	(m)
L : 定着地盤部の高さ	(m)
L' : スライムだまり	(m)
D : 定着孔径	(m)

図-3 チエーン埋設アンカー構造モデル
および鞍状地盤部力学モデル

$$P = ZT \cos\left\{\frac{\pi}{4} + \theta\right\}/Z = ZT \cos\left(\frac{\pi}{4} + \frac{\pi}{2}\right) = ZT \sin\left(\frac{\pi}{4} - \frac{\theta}{2}\right) \quad (5)$$

②, ③, ⑤式より

$$H = R \cos \theta = \frac{ZT}{P(\frac{\pi}{4}-\theta)} \sin\left(\frac{\pi}{4} - \frac{\theta}{2}\right) \cos \theta = \frac{ZT \cos \theta}{ZuB(\frac{\pi}{2}-\theta)} \sin\left(\frac{\pi}{4} - \frac{\theta}{2}\right) \quad (6)$$

また④, ⑤式より

$$T' = T - \mu P = T \left\{ 1 - 2\mu \sin\left(\frac{\pi}{4} - \frac{\theta}{2}\right) \right\} \quad (7)$$

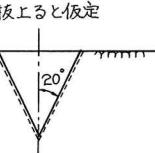
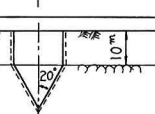
3.2 薄状地盤部の検討

④式より、チエーンの引込角 20° 、一軸圧縮強度 50 kg/cm^2 、地盤のチエーン支持幅 0.264 m （両側のチエーン径を足し合わしたもの）とすると、薄状地盤部の高さとして、約 3.4 m 必要である。

3.3 定着地盤部分の検討

表-2に定着地盤部分の定着長検討諸要目を示す。

表-2 所要定着長の検討一覧 (引抜力 $T' = 500 \text{ t}$ と想定)

区分	検討項目	抵抗機構	所要定着長 (m)	許容応力など	備考
根固めモルタル	チエーンとモルタルとの付着面のすべり	下図破線の付着面ですべると仮定 	1.11 m^2/m	6.72	$\tau_a = \frac{1}{30} 0c$ = $\frac{200}{30}$ = 6.67 kg/mm^2 付着面として最小のものは $\odot \odot$ (付着面積 0.83 mm^2) の状態の場合が考えられるが、この場合はリンク内に詰ったモルタルの圧縮あるいはせん断破壊が引抜力に抵抗するので左記の付着面を想定した。
モルタル	モルタルのせん断破壊	下図破線に沿ってせん断破壊すると仮定 	1.51 m^2/m	4.95	$\tau_a = \frac{1}{30} 0c$ = 6.67 kg/mm^2 モルタルの許容せん断応力度は許容付着応力度と同様にコンクリート標準仕様書、港湾構造物設計基準などより $\sqrt{30} 0c$ とした。
タル	モルタルと地盤との付着面のすべり	下図破線に沿ってすべると仮定 	2.20 m^2/m	4.55	$\tau_a = 5 \text{ kg/mm}^2$ 地盤とモルタルの許容付着応力度は地質によつても異なるが、一軸圧縮強度 100 kg/cm^2 以上の砂岩について 5 kg/mm^2 程度の値がとられており、海中ではその $\sqrt{2}$ をとることにした。
定着地盤	定着地盤のせん断破壊	下図のような円錐状にせん断破壊すると仮定 		3.70	$\tau_a = 5 \text{ kg/mm}^2$ 定着地盤に引張力とせん断力の両者が作用するとすべり面での破壊が生じると予想されるが、簡単のために単純化せん断破壊を考慮した。地盤の許容せん断応力度はモルタルと地盤の付着応力度と同様の値とした。
盤	定着地盤の浮上	土被りのない場合		13.1	水中の地盤の単位体積重量を 1.6 t/m^3 と仮定 対象地盤が石少岩であるので亀裂が少なく地盤のせん断破壊が先行する。そのため定着地盤の浮上については参考としたのみで検討対象から除外することにした。
	上被りが 10 m ある場合			7.7	

ただし、定着部チエーンに作用する引抜力は、安全のため 500 t として検討した。この結果、薄状地盤部 3.5 m 、定着長部 7 m 、スライムだまり 0.5 m 、合計 11 m 以上を岩盤中に定着することにした。

なお、この他チエーン埋設式アンカーの欠点として、チエーンがゆるんだ状態で定着されると、チエーンに引抜力を与えた場合に上部より順次チエーンが変位し、モルタルおよび地盤がこの変位に追従できなくて、上側より順次剥離することがある。この対策としてチエーンに初期テンションを与えることである。

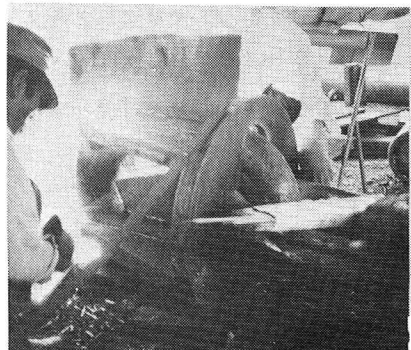


写真-1 テールアンカーの製作(工場製作)

ることが考えられるが大掛りとなるので、今回の施工ではチェーンをぶら下げた状態で鉄筋を密接して吊降し、チェーンの初期たるみを除去することを考えた。さらにチェーン定着部の先端に写真-1に示すようなモルタルの支圧強度に期待するテールアンカーを用いることにした。引抜試験の結果からはこのテールアンカーの効果について云々することはできないが、陸上で用いられているロックアンカー、アースアンカーにおいても、アンカー先端にワッシャーなどを取付けることが効果的であると報告されているので、チェーン埋設アンカーにおいても今後とも有効な方法であると考える。

4. 施工

4.1 セン孔

チェーンを地盤に定着するためのセン孔は、クレーン台船（吊り能力30t、150排水t）の張出足場に、リバース式掘削機（日立建機、SD-300、トルク5.8t-m）を載せて行なった。足場と掘削機の選定には、種々の考え方があったが、海象条件、工期経済性を考慮して、踏切ったものであるセン孔設備の概要を図-4に示す。

チェーン定着用のセン孔には、泥水の使用が好ましくないので軟弱な堆積層の掘削に孔壁保持としてケーシング（中800×外950）を用いることにした。

ケーシングの挿入は、拡底ビットとノックイング機構（ビット1回転ごとに1回重量約1～2tのものがストローク6cmで上下

する）によった。岩盤部の掘削は、ローラータイプのロックビットを使用して行なった。

このような方法により、全長21m～26m（この内堆積層0～8m）のセン孔に2日～5日間を要した。岩盤部のセン孔速度は、スラスト荷重10t、回転速度10～28r.p.mにより0.5m/h～1m/hであった。しかし傾斜した岩盤部へのケーシングの挿入および強風化岩部の掘削にはかなりの時間を要し、5本のセン孔のうち2本は途中で場所を変えて掘り直しを行なった。

4.2 チェーンの挿入

チェーンのアンカーポートへの挿入は、潜水夫の誘導により30t吊りクレーン船で吊降したが、途中、チェーンのたるみ防止用の鋼棒（中32）、モルタル注入管、スペーサー、ヘッドストップバーなどを取付けた。チェーンの挿入に要した時間は、3～9h程度であった。

4.3 モルタルの注入

アンカーポートチェーンの根固め用のモルタル配合は、表-3に示す通りである。本工事では、この2

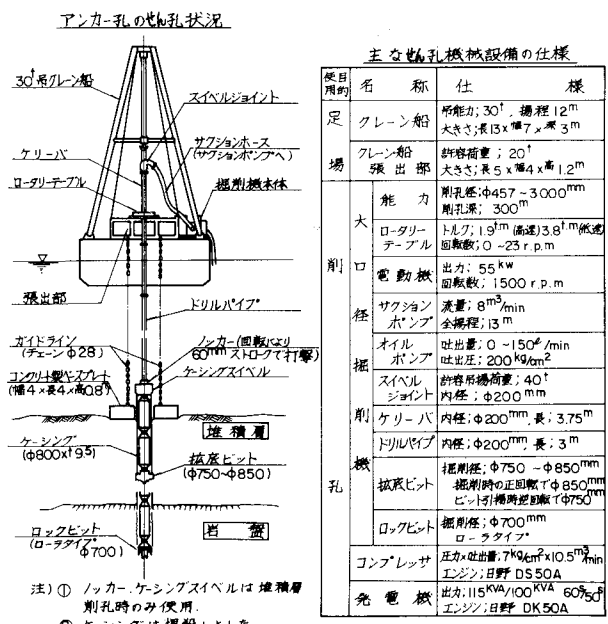


図-4 アンカーポートのセン孔状況およびセン孔設備

種類の配合により根固めを行なったが、B配合に比べA配合のモルタルは、施工後の供試体の圧縮強度試験結果によると、2～3割の強度低下が見られた。

表-3 使用モルタルの配合

A 配 合						B 配 合						
	セメント	石 粉	電化CSA	水	水セメント比		セメント	砂	ボンシリス NO10L	アシテー 粉末	水	水セメント比
配 合 比	0.88	0.5	0.12	0.55	55%	配 合 比	1	0.83	0.005	0.0001	0.53	53%
バチ300当り材料数	252kg	143kg	34kg	157kg		バチ300当り材料数	240kg	200kg	4.8	24g	127kg	

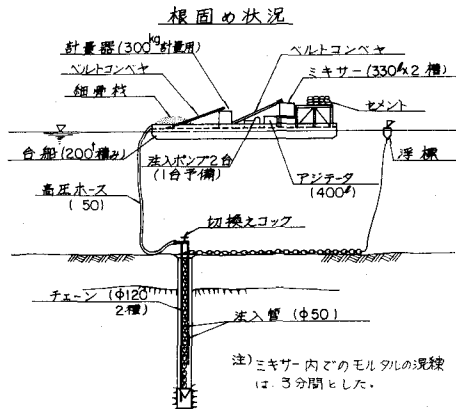
注) 使用水は海水、使用セメントはN0.3アンカーアーチ強セメントを他のアンカーアーチ強セメント

注入用のパイプは中50mmのガス管を孔長に合せチーン挿入時に添わせて設置した。この注入管へモルタル注入時に注入台船上からフレキシブル高圧ホースを降し潜水夫により連結した。

注入に際しては、台船(200t積み)上にミキサー、アシテーター、注入ポンプおよびモルタル材料を搭載し、チーン挿入後施工地点にこれを曳航してきて作業を行なった。図-5に注入台船と機械設備を示す。

なお、この工事では、パッカーを使用せずモルタル注入管を2～3段に使用し、計算上の注入高さより5m以上打上ったと考えられる時点まで注入バルブを潜水夫により順次切換えて注入した。

チーン埋設アンカーの施工結果を表-4に示す。



注)ミキサー内でのモルタルの混練は、3分間とした。

主な根固め機械設備の仕様

使用目的	名 称	仕 様
足 場	合 船	排水量: 200t 大きさ: 幅20×幅8×深1.5m
細 粒	計 量 器	300kg計量用
混 練	ミ キ サー	混練容量: 300Lx2 (底剤2機)
かくはん	アシテーター	かくはん容量: 350Lx2 (上2機, 上機はミキサー)
注 入	グラウトポンプ	吐出圧力: 18~50kg/cm ² 吐出量: 100~354/min
	グラウトポンプ	吐出圧力: 25~64kg/cm ² 吐出量: 65~254/min

図-5 アンカーベンチ根固め状況および根固め設備

表-4 埋設アンカー施工結果

ア ン カ ー 番 号	アンカーベンチの削孔				チーンの挿入				根固めモルタルの注入						アンカーベンチ 部岩質	備 考	
	削孔 年月日	削孔 長(m) 培積層 岩盤 全長(m)	チーン 長(m)	挿入 年月日	挿入長 (m)	孔底切 片厚さ (m)	注入 年月日	モルタル 配合	注入量 (m ³)	注入長 (m)	注入 時間 (hr)	チーン 埋設長 (m)	圧縮強度 (kg/cm ²)				
1	S47. 7.24 (3日間)	6.5	17.3	23.8 (7.3)	8	S.47. 7.29	22	1.8	S.47. 7.29	A	16~ 20	8.4	23	2.30	21.2	220~ 250	粗粒砂岩、 砾岩 (約12m) 引抜試験実施 8月27日
2	S47. 8.10 (2日間)	6.7	17.3	24.0	12 (10.6)	S.47. 8.13	22	2	S.47. 8.13	A	15~ 20	6.6	18.5	2.50	16.5	240~ 260	砂岩 (約11m) 引抜試験実施 8月28日
3	S47. 9.2 (5日間)	8	17.5	25.5	10 (9.1)	S.47. 9.7	24.5	1	S.47. 9.7	B	16~ 20	9.4	25	1.55	24	300~ 320	砾質砂岩、 粗粒砂岩 (約13m) 引抜試験実施 9月24日
4	S47. 9.14 (2日間)	0.3	26.2	26.5		S.47. 9.15	25.5	1	S.47. 9.15	B	15~ 20	9.4	26	1.55	25	290~ 310	砾質砂岩、 砾岩 (約15m)
5	S47. 9.16 (5.5日間)	4.5	17.1	21.6	6 (4.5)	S.47. 9.20	21.	0.5	S.47. 9.20	B	15~ 20	9.1	23	1.50	22.5	295~ 300	砾質砂岩、 砾岩 (約14m)

注) 根固めモルタルの圧縮強度は、注入時に製作した供試体による。

5. 引抜試験

アンカーの施工後、1～3週間の養生後に把駐力を確認するため3基のアンカーについて、引抜試験を実施した。引抜試験は、使用時の荷重方向（約20°の仰角で船をけい留）で行なうことが困難であったため写真-2に示すような1500t吊りクレーン船を用い、鉛直上向に行なった。

引抜試験の結果は図-6に示す通りであるが、これにはチェーン自体の伸びも含まれている。一般にチェーンは破断荷重の70%の耐力試験を実施した後出荷されるので、大きな初期ひずみが除去された状態で使用されることになる。改訂船舶工学便覧によると引張試験時における電接チエーンの伸びひずみ量は、耐力試験荷重で0.5%、破断荷重で2%程度と言われている。したがって、自由チエーン長（海底から変位量測定点まで）50mに対するチエーン自身の伸び量を引抜試験結果図にプロットすると、チエーンの変位量測定結果（チエーン自身の伸びも含む）とチエーン伸び量推定曲線が大略一致する。測定精度（約200m離れた岸壁よりトランシットで測定）や、チエーン推定伸び量の偏差などを考慮すると断言はできないが、チエーンの地盤面での実際の浮上りはほとんどなかったものと推定される。

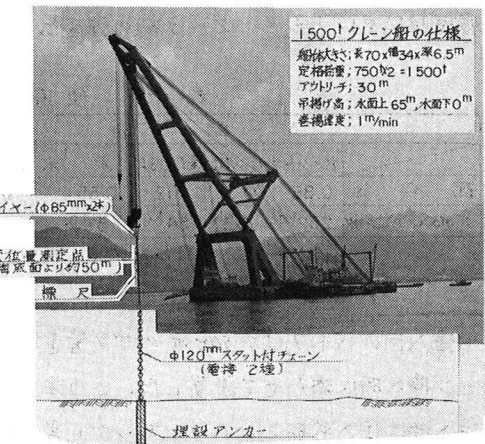


写真-2 アンカー引抜試験状況

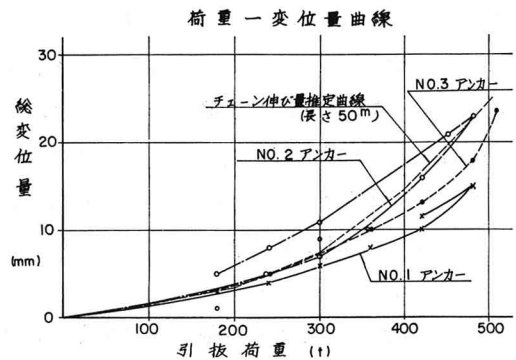


図-6 アンカー引抜試験結果

6. あとがき

最近海洋土木工事などにおいて、埋設アンカーの使用が考慮されるようになってきたが、現状では地盤条件、海象条件、工期、経済性などにより、設計および施工に制約を受けるようである。本報告が今後のこの種のアンカーの計画になんらかの参考となれば幸いである。最後にこの工事の実施にあたって御協力いただいた太平洋探海工業(株)井上絢夫、野畠肇および(株)間組市川致、濱隆次郎の諸氏に厚くお礼申し上げます。

7. 参考文献

- 1) 高橋幸蔵、喜岡直太郎; 本四架橋調査鳴門海上実験における埋設アンカーについて、橋梁、1971.3
- 2) 山口晴紀、中内博司他2名; セメントペーストの初期強度について、間組研究年報、(株)間組、1971.
- 3) 中山武士、岡田凌太; 本四架橋調査(尾道～今治ルート)における1000t埋設アンカー製造および引張試験、橋梁、1972.4
- 4) 造船協会編; 改訂船舶工学便覧、造船協会、昭和40年12月